



การสังเคราะห์และคุณลักษณะของสารประกอบเชิงซ้อน เหล็กและสังกะสีกับลิแกนด์มัลติเดนเตต

Synthesis and Characterization of Iron and Zinc Complexes with a Multidentate Ligand

อานอบ คันทะชา*, สุรชัย คงชู และสิรินาฏ ชูเศษ

สาขาวิชาเคมี คณะวิทยาศาสตร์ มหาวิทยาลัยทักษิณ วิทยาเขตพัทลุง

อำเภอป่าพะยอม จังหวัดพัทลุง 93110

Anob Kantacha*, Surachai Kongchoo and Sirinart Chooset

Department of Chemistry, Faculty of Science, Thaksin University, Patthalung Campus,

Phapayom, Patthalung 93110

บทคัดย่อ

สารประกอบเชิงซ้อนโลหะคู่ $Fe^{III}-Fe^{II}$ และ $Fe^{III}-Zn^{II}$ ถูกเตรียมขึ้นจากปฏิกิริยาของลิแกนด์ H_2L กับเกลือของเหล็ก(III) คลอไรด์เฮกซะไฮเดรต ในตัวทำละลายเมทานอล และโซเดียมอะซิเตตไตรไฮเดรต ที่อุณหภูมิห้อง (เมื่อ H_2L คือ เมทิล-2-[(2-ไฮดรอกซิล-5-เมทิล-3-(((2-อะมิโน-2-ออกโซเอทิล)ไพริดีน-2-อิลเมทิลอะมิโน)เมทิล)เบนซิล)(2-ไฮดรอกซิลเบนซิล)อะมิโน]-อะซิเตต ได้สารประกอบเชิงซ้อน (1) ส่วนสารประกอบเชิงซ้อน (2) เตรียมขึ้นจากปฏิกิริยาเดียวกันแต่ใช้เกลือของสังกะสี(II) อะซิเตต ไตรไฮเดรต ศึกษาคุณลักษณะโดยอินฟราเรด ยูวี-วิสิเบิล และแมสสเปกโทรเมตรี พบว่า สารประกอบเชิงซ้อนโลหะคู่ $Fe^{III}-Fe^{II}$ และ $Fe^{III}-Zn^{II}$ มีสูตรทางเคมี คือ $[Fe_2(L)(\mu-O)(H_2O)_2](ClO_4)_2 \cdot 4H_2O$ (1) และ $[Fe_2Zn_2(L)_2(\mu-O)(\mu-OH)(OAc)_2](ClO_4)_2$ (2) ตามลำดับ ทั้งสารประกอบเชิงซ้อน (1) และ (2) มีรูปร่างโมเลกุลที่คาดหวังเป็นรูปทรงเหลี่ยมแปดหน้าที่ยึดเบี่ยว

คำสำคัญ : ลิแกนด์แบบมัลติเดนเตต; เมทิลโลเอนไซม์; เหล็ก(III)-เหล็ก(II); เหล็ก(III)-สังกะสี(II)

Abstract

The dinuclear metal complexes of $Fe^{III}-Fe^{II}$ (1) and $Fe^{III}-Zn^{II}$ (2) were prepared from the reaction of H_2L ligand with $FeCl_3 \cdot 6H_2O$ in methanol and $CH_3COONa \cdot 3H_2O$ at room temperature (where H_2L is the anion of methyl-2-[(2-hydroxyl-5-methyl-3-(((2-amino-2-oxoethyl) pyridin-2-ylmethylamino) methyl) benzyl) (2-hydroxylbenzyl) amino] -acetate, obtaining complex (1). While the second complex has been synthesized by the same

reaction of complex (1) but using $Zn(CH_3COO)_2 \cdot 2H_2O$ instead of $FeCl_3 \cdot 6H_2O$. Both complexes have been characterized by IR, UV-Vis and Mass spectroscopy. As the result, it has been found that the chemical formula of two complexes is $[Fe_2(L)(\mu-O)(H_2O)_2](ClO_4)_2 \cdot 4H_2O$ (1) and $[Fe_2Zn_2(L)_2(\mu-O)(\mu-OH)(OAc)_2](ClO_4)_2$ (2). Molecular shape as expected of both complex (1) and (2) are distorted octahedron.

Keywords: multidentate ligand; metalloenzyme; $Fe^{III}-Fe^{III}$; $Fe^{III}-Zn^{II}$

1. บทนำ

สารประกอบเชิงซ้อนของโลหะทรานซิชันกับลิแกนด์มัลติเดนเตตได้รับความนิยมสูงมากในการวิจัย เนื่องจากมีสมบัติที่หลากหลายทางด้านชีวภาพ สารประกอบเชิงซ้อนดังกล่าวมีความโดดเด่นในด้านการเป็นเมทัลโลเอนไซม์ภายในโมเลกุลโปรตีน ประกอบด้วยโลหะคู่ เป็นตำแหน่งการออกฤทธิ์ โดยส่วนใหญ่โลหะคู่ดังกล่าวนี้ที่เกี่ยวข้องกับเอนไซม์ purple acid phosphatases (PAPs) เช่น $Fe^{III}M^{II}$ เมื่อ M คือ ไอออนโลหะ Fe, Zn หรือ Mn [1] สมบัติของเอนไซม์นี้จะอยู่ในสภาวะที่เป็นกรดสำหรับสภาวะที่เหมาะสมโดยจะเป็นสีม่วงเข้มภายหลัง โดยอิเล็กตรอนจากไทโรซีนฟีนอลเลตทรานซิชันไปยังเหล็ก(III) - แบบกระบวนการ ligand to metal charge - transfer (LMCT) [2] เช่น งานวิจัยของ Guddat และคณะ [3] ได้ศึกษาโครงสร้างผลึกของเอนไซม์ purple acid phosphatases ในสัตว์เลี้ยงลูกด้วยน้ำนม พบว่าลำดับความเหมือนกันมีน้อยกว่า 15 เปอร์เซ็นต์ กล่าวคือ การบิดของโปรตีนคล้ายกับเอนไซม์ purple acid phosphatases ในพืช และเอนไซม์ serine/threonine protein phosphatases บางชนิด บริเวณตำแหน่งการออกฤทธิ์ของสัตว์เลี้ยงลูกด้วยน้ำนมและเอนไซม์ purple acid phosphatases ในพืชแตกต่างกันอย่างมีนัยสำคัญ อย่างไรก็ตามสมมาตรภายใน (internal symmetry) แสดงให้เห็น

ว่าโลหะคู่ (binuclear centre) มีผลต่อการรวมของมอนอโนิวเคลียร์^[3] และงานวิจัยของ Neves และ Brito [4] สังเคราะห์สารประกอบเชิงซ้อนชนิดใหม่ของ $Fe^{III}Fe^{III}$ และ $Fe^{III}Fe^{II}$ มีสูตรทางเคมี คือ $[Fe_2(BBPMP)(\mu-OAc)(\mu-X)]^n$ (เมื่อ X คือ OAc⁻ และ OH⁻ และ $BBPMP^{3-}$ คือ แอนไอออนของ 2,6-บิส[(2-ไฮดรอกซิลเบนซิล)(2-ทริทิลเมทิล)อะมิโนเมทิล]-4-เมทิลฟีนอลถูกเตรียมขึ้นเพื่อที่จะเป็นแบบจำลองสำหรับตำแหน่งการออกฤทธิ์ของเอนไซม์ purple acid phosphatases โดยที่สารประกอบเชิงซ้อน 1 ได้จากการทำปฏิกิริยาโดยลิแกนด์ H_3BBPMP กับเหล็ก(II) เปอร์คลอเรต เฮกซะไฮเดรต ในตัวทำละลายเมทานอลและโซเดียมอะซิเตตภายใต้อุณหภูมิห้อง ส่วนสารประกอบเชิงซ้อน 2 เปลี่ยนเป็นตัวทำละลายอะซิโตนไตริลและไฮดรอกไซด์ สารประกอบเชิงซ้อนทั้งสองเป็นรูปแบบที่ติของตำแหน่งที่เกิดสีสำหรับรูปแบบการออกฤทธิ์ และรีดิวซ์ ตามลำดับของเอนไซม์ [4]

งานวิจัยก่อนหน้านี้ Xavier และคณะ [5] ได้การสังเคราะห์สารประกอบเชิงซ้อนโลหะคู่ชนิดใหม่มีสูตรทางเคมี คือ $[Fe^{III}Co^{II}(BPBPMP)(\mu-OAc)_2]ClO_4$ (1) และ $[Ga^{III}Co^{II}(BPBPMP)(\mu-OAc)_2]ClO_4$ (2) โดยลิแกนด์ที่สังเคราะห์ไม่สมมาตรกัน (Unsymmetrical) เมื่อ $H_2BPBPMP$ คือ (2-bis[(2-pyridyl-methyl)-aminomethyl]-6-[(2-hydroxy-benzyl)-(2-pyridyl-methyl)-aminomethyl]-4-methylphenol) ศึกษาคุณลักษณะโดยการวิเคราะห์หาธาตุ อินฟราเรด ยูวี-



วิธีเบล และเทคนิคการเลี้ยวเบนรังสีเอกซ์บนผลึกเดี่ยว นอกจากนี้ นำสารประกอบเชิงซ้อนโลหะคู่ทั้งสองชนิด ศึกษาการเป็นตัวเร่งปฏิกิริยาของบิส(2,4-ไดโนโตรฟีนิล)ฟอสเฟต ไดเอสเทอร์ และดีเอ็นเอ พบว่านิวคลีโอฟิลิกภายในโมเลกุลจับกับโลหะเหล็ก(III) หรือโลหะแกลเลียม(III) ตำแหน่งปลาย (Terminal) ถูกโคออร์ดิเนตอยู่กับหมู่ไฮดรอกซิลบนอะตอมฟอสฟอรัสของไดเอสเทอร์ ฟอสเฟตที่จับอยู่กับโลหะโคบอลต์(II) เกิดขึ้นพร้อมกับการหลุดออกของ 2,4-ไดโนโตรฟีนอล

ดังนั้นงานวิจัยนี้มีวัตถุประสงค์เพื่อสังเคราะห์และศึกษาคุณลักษณะของสารประกอบเชิงซ้อน $Fe^{III}-Fe^{II}$ และ $Fe^{III}-Zn^{II}$ ซึ่งเตรียมได้จากการนำเกลือของโลหะ (Fe^{II} และ Fe^{III}) และเกลือของโลหะ (Fe^{III} และ Zn^{II}) ทำปฏิกิริยากับลิแกนด์มัลติเดนเตต H_2L (เมื่อ H_2L คือ เมทิล-2-((2-ไฮดรอกซิล-5-เมทิล-3-((2-อะมิโน-2-ออกโซเอทิล)ฟิรีดีน-2-อิลเมทิลอะมิโน)เมทิล)เบนซิล)(2-ไฮดรอกซิลเบนซิล)อะมิโน]-อะซีเตต และจากสารประกอบเชิงซ้อนโลหะคู่ที่สังเคราะห์ได้นี้ผู้วิจัยคาดหวังว่าน่าจะนำไปใช้ประโยชน์ในการเป็นตัวเร่งปฏิกิริยาของฟอสเฟตเอสเทอร์ได้เหมือนกับงานวิจัยที่ได้รายงานไว้ก่อนหน้านี้

2. อุปกรณ์และวิธีการ

2.1 อุปกรณ์ ได้แก่ (1) ปีกเกอร์ขนาด 50 และ 100 มิลลิลิตร (2) หลอดหยด (3) แท่งแก้วคนสาร (4) กระจกนาฬิกา (5) จุกยาง (6) ปิเปตขนาด 1, 5 และ 10 มิลลิลิตร (7) กระดาษฟีนอล์ฟ Indicator Sticks และ (8) เครื่องชั่งน้ำหนัก 4 ตำแหน่ง ยี่ห้อ Sartorius

2.2 สารเคมี ได้แก่ (1) ไกลซีน เอทิล เอสเทอร์ ไฮโดรคลอไรด์ บริษัท Sigma ความบริสุทธิ์ 99 % (2) 2,6-บิส(ไฮดรอกซิลเมทิล)-*p*-คริสคอล บริษัท

Aldrich ความบริสุทธิ์ 95 % (3) แมงกานีส(IV) ออกไซด์ บริษัท Aldrich ความบริสุทธิ์ 99 % (4) โบโรโมอะเซตาไมด์ บริษัท Aldrich ความบริสุทธิ์ 98 % (5) ซาลิซิลอัลดีไฮด์ บริษัท Aldrich ความบริสุทธิ์ 98 % (6) โซเดียม บอโรไฮไดรไรต์ บริษัท Aldrich ความบริสุทธิ์มากกว่า 96 % (7) โซเดียมเปอร์คลอเรต บริษัท Aldrich ความบริสุทธิ์มากกว่า 96 % เกรด ACS (8) โซเดียมอะซีเตต ไตรไฮเดรต บริษัท Aldrich ความบริสุทธิ์มากกว่า 99 % เกรด Reagent (9) 2-อะมิโนเมทิลฟิรีดีน บริษัท Aldrich ความบริสุทธิ์มากกว่า 99 % (10) เหล็ก(III) คลอไรด์ เฮกซะไฮเดรต บริษัท Aldrich ความบริสุทธิ์ 97 % เกรด Reagent (11) สังกะสี(II) อะซีเตต ไตรไฮเดรต บริษัท Aldrich ความบริสุทธิ์มากกว่า 98 % เกรด ACS (12) ไตรเอทิลลามีน บริษัท Sigma-Aldrich ความบริสุทธิ์มากกว่า 99 % (13) เอทานอล บริษัท Aldrich ความบริสุทธิ์ 99.5 % เกรด ACS (14) เมทานอล บริษัท Sigma-Aldrich ความบริสุทธิ์มากกว่า 99.5 % เกรด ACS (15) กรดอะซีติก บริษัท Sigma-Aldrich ความบริสุทธิ์มากกว่า 99.7 % เกรด ACS (16) กรดไฮโดรคลอริก บริษัท Sigma-Aldrich ความเข้มข้น 37 % เกรด ACS (17) โทลูอีน บริษัท Sigma-Aldrich ความบริสุทธิ์ 99.8 % (18) คลอโรฟอร์ม บริษัท Sigma-Aldrich ความบริสุทธิ์ 99.8 % (19) ซีโลด์ บริษัท Sigma-Aldrich (20) โพแทสเซียมไฮดรอกไซด์ บริษัท Sigma-Aldrich ความบริสุทธิ์มากกว่า 85.5 % เกรด ACS (21) ไดคลอโรมีเทน บริษัท Sigma-Aldrich ความบริสุทธิ์มากกว่า 99.5 % เกรด ACS (22) โซเดียมไฮโดรเจนคาร์บอเนต บริษัท Sigma-Aldrich ความบริสุทธิ์มากกว่า 95 % (23) โซเดียมซัลเฟต บริษัท Sigma-Aldrich ปรอทจากน้ำ (anhydrous) เกรด ACS และ (24) เตตระไฮโดรฟิวแรน บริษัท Sigma-Aldrich ความบริสุทธิ์ 99.8 %

2.3 เครื่องมือที่ใช้วิเคราะห์

2.3.1 พูรีเยอร์ทรานสฟอร์ม-อินฟราเรด สเปกโทรโฟโตมิเตอร์ (FT-IR) ยี่ห้อ Perkin-Elmer รุ่น Spectrum One

2.3.2 ยูวี-วิสิเบิล สเปกโทรโฟโตมิเตอร์ (UV-Vis) ยี่ห้อ Shimadzu รุ่น UV-1601

2.3.3 แก๊สโครมาโทกราฟี-แมสสเปกโทรมิเตอร์ (GC-MS) ยี่ห้อ Agilent รุ่น GC6890N with MSD 5973N

2.4 วิธีการวิจัย

2.4.1 เตรียมลิแกนด์ของสารประกอบ 2-ไฮดรอกซี-3-คลอโรเมทิล-5-เมทิลเบนซิลดีไฮด์

ชั่งน้ำหนัก 2,6-บิส(ไฮดรอกซีลเมทิล)-*p*-ครีซอล จำนวน 10 กรัม ละลายในคลอโรฟอร์ม เติมแมงกานีส(IV) ออกไซด์ หนัก 50 กรัมลงไป คนสารละลายที่อุณหภูมิห้องเป็นเวลา 16 ชั่วโมง แล้วกรองแบบลดความดันผ่านซีลิต นำสารละลายที่กรองได้ ระบายตัวทำละลายออก ทำการสกัดด้วยโทลูอีนร้อน จะได้สารประกอบ 2-ไฮดรอกซี-3-ไฮดรอกซีเมทิล-5-เมทิลเบนซิลดีไฮด์

ชั่งน้ำหนักสารประกอบ 2-ไฮดรอกซี-3-ไฮดรอกซีเมทิล-5-เมทิลเบนซิลดีไฮด์ จำนวน 6 กรัม ละลายในเอทานอล เติมกรดไฮโดรคลอริกเข้มข้น คนสารละลายเป็นเวลา 2 ชั่วโมง อุณหภูมิ 40 องศาเซลเซียส นำสารละลายระเหยตัวทำละลายออก จะได้สารประกอบ 2-ไฮดรอกซี-3-คลอโรเมทิล-5-เมทิลเบนซิลดีไฮด์

2.4.2 เตรียมลิแกนด์ของสารประกอบ *N*-(2-ไฮดรอกซีเบนซิล)ไกลซีน เอทิล เอสเทอร์

ละลายไกลซีน เอทิล เอสเทอร์ น้ำหนัก 8.34 กรัม ในโพแทสเซียมไฮดรอกไซด์ ความเข้มข้น 1 โมลาร์ เติมลงในซาลิซิลอัลดีไฮด์ที่ละลายในเอทานอล

คนสารละลาย 20 นาที ได้สารละลายสีเหลืองขุ่น จากนั้นเติมเมทานอลลงไป คนสารละลายต่อเป็นเวลา 2 ชั่วโมง สารละลายที่ได้เติมโซเดียม บอโรไฮไดรด์ หนัก 4.00 กรัม ภายใต้อุณหภูมิ 0 องศาเซลเซียส คนสารละลายเป็นเวลา 20 นาที จากนั้นปรับ pH ของสารละลาย เท่ากับ 4 ด้วยกรดอะซิติก นำสารละลายที่ได้ ระบายตัวทำละลายออกได้ตะกอนสีขาว แล้วนำตะกอนสีขาวมาผสมน้ำกลั่น สกัดด้วยไดคลอโรมีเทน (4 x 50 มิลลิลิตร) นำสารละลายชั้นอินทรีย์สกัดด้วยโซเดียมไฮโดรเจนคาร์บอเนตอิ่มตัว (4 x 50 มิลลิลิตร) นำสารละลายชั้นอินทรีย์เติมโซเดียมซัลเฟตปราศจากน้ำ กรองสารละลายที่ได้ แล้วนำไประเหยตัวทำละลายออก

2.4.3 เตรียมลิแกนด์ของสารประกอบ [(3-ฟอร์มิล-2-ไฮดรอกซี-5-เมทิล-เบนซิล)-(2-ไฮดรอกซี-เบนซิล)-อะมิโน]-อะซิติก แอซิด เอทิล เอสเทอร์

ชั่งน้ำหนัก *N*-(2-ไฮดรอกซีเบนซิล)ไกลซีน เอทิล เอสเทอร์ 2.30 กรัม ละลายในเตตระไฮโดรฟิวแรน เติม 2-ไฮดรอกซี-3-คลอโรเมทิล-5-เมทิลเบนซิลดีไฮด์ 1.94 กรัม ได้สารละลายสีเหลืองใส จากนั้นเติมไตรเอทิลลามีน คนสารละลายที่อุณหภูมิห้อง เป็นเวลา 18 ชั่วโมง นำสารละลายที่ได้ระบายตัวทำละลายออกได้ตะกอนสีขาว เติมน้ำลงในตะกอนสีขาว แล้วสกัดด้วยไดคลอโรมีเทน (3 x 35 มิลลิลิตร) เติมโซเดียมซัลเฟตปราศจากน้ำ กรองสารละลายที่ได้ แล้วนำไประเหยตัวทำละลายออก

2.4.4 เตรียมลิแกนด์ของสารประกอบ เมทิล-2-[(2-ไฮดรอกซี-5-เมทิล-3-(ฟิรีดิน-2-อิลเมทิลอะมิโน)เมทิล)เบนซิล](2-ไฮดรอกซีเบนซิล)อะมิโน]-อะซิเตด

ชั่งน้ำหนัก [(3-ฟอร์มิล-2-ไฮดรอกซี-5-เมทิล-เบนซิล)-(2-ไฮดรอกซี-เบนซิล)-อะมิโน]-อะซิติก แอซิด เอทิล เอสเทอร์ 5.35 กรัม ละลายในเมทานอล



เติม 2-อะมิโนเมทิลพิริดีน 1.64 กรัม ได้สารละลายสีเหลืองใส คนสารละลายเวลา 2 ชั่วโมง จากนั้นเติมโซเดียม บอโรไฮไดรด์ 2 กรัม รีฟลักซ์ที่สารละลายอุณหภูมิ 50 องศาเซลเซียส เวลา 2 ชั่วโมง ทำให้เย็นที่อุณหภูมิห้องคนสารละลายต่อเป็นเวลา 24 ชั่วโมง ระบายตัวทำละลายออกได้ตะกอนสีส้ม จากนั้นเติมน้ำและไดคลอโรมีเทน ปรับ pH = 4 ด้วยกรดไฮโดรคลอริกเข้มข้น สกัดด้วยไดคลอโรมีเทน (2 x 75 มิลลิลิตร) นำสารละลายชั้นอินทรีย์เติมโซเดียมซัลเฟตปราศจากน้ำ กรองสารละลายที่ได้ แล้วนำไประเหยตัวทำละลายออก

2.4.5 เตรียมลิแกนด์ของสารประกอบเมทิล-2-((2-ไฮดรอกซี-5-เมทิล-3-((2-อะมิโน-2-ออกโซเอทิล)พิริดีน-2-อิลเมทิลอะมิโน)เมทิล)เบนซิล)(2-ไฮดรอกซีเบนซิล)อะมิโน-อะซีเตต (H_2L)

ชั่งน้ำหนักเมทิล-2-((2-ไฮดรอกซี-5-เมทิล-3-((พิริดีน-2-อิลเมทิลอะมิโน)เมทิล)เบนซิล)(2-ไฮดรอกซีเบนซิล)อะมิโน-อะซีเตต จำนวน 300 มิลลิกรัม ละลายในอะซิโตนไตรล์ เติมโซเดียมคาร์บอเนต 75 มิลลิกรัม คนเป็นเวลา 10 นาที จากนั้นเติมโบรโมอะเซตาไมด์ 95 มิลลิกรัม คนสารละลายเป็นเวลา 4 ชั่วโมง นำสารละลายระเหยตัวทำละลายออก นำสารที่ได้มาเติมโซเดียมไฮโดรเจนคาร์บอเนตอิ่มตัว ทำการสกัดด้วยไดคลอโรมีเทน (2 x 25 มิลลิลิตร) นำสารละลายชั้นอินทรีย์เติมโซเดียมซัลเฟตปราศจากน้ำ กรองสารละลายที่ได้ แล้วนำไประเหยตัวทำละลายออก

2.4.6 การสังเคราะห์สารประกอบเชิงซ้อนโลหะคู่ M_1M_2L เมื่อ M_1 คือ Fe^{III} , M_2 คือ Fe^{II} และ Zn^{II}

สารประกอบเชิงซ้อน (1); นำลิแกนด์ H_2L หนัก 0.08 กรัม ละลายในเมทานอล เติมเหล็ก(III) คลอไรด์ เฮกซะไฮเดรต ปริมาณ 0.414 กรัม ได้

สารละลายสีม่วงดำ เติมโซเดียมอะซีเตต ไตรไฮเดรต คนสารละลายที่อุณหภูมิ 40 องศาเซลเซียส เติมโซเดียมเปอร์คลอเรต ปริมาณ 0.08 กรัม คนเป็นเวลา 30 นาที เติมโพแทสเซียมไฮดรอกไซด์ ความเข้มข้น 1 โมลาร์ คนสารละลายต่ออีก 5 นาที อุณหภูมิ 40 องศาเซลเซียส กรองสารละลายตั้งไว้ที่อุณหภูมิห้อง ได้ผงสีม่วง วิเคราะห์โครงสร้างด้วยอินฟราเรด ยูวี-วิสิเบิล และแมสสเปกโทรสโกปี ได้ร้อยละผลผลิตเท่ากับ 25

สารประกอบเชิงซ้อน (2); วิธีสังเคราะห์แบบเดียวกับสารประกอบเชิงซ้อน (1) แต่เปลี่ยนจากเหล็ก(III) คลอไรด์ เฮกซะไฮเดรต เป็นเหล็ก(II) คลอไรด์ เฮกซะไฮเดรตกับสังกะสี(II) อะซีเตต ไตรไฮเดรต ได้ผงสีม่วงน้ำตาลวิเคราะห์โครงสร้างด้วยอินฟราเรด ยูวี-วิสิเบิล และแมสสเปกโทรสโกปี ได้ร้อยละผลผลิตเท่ากับ 40

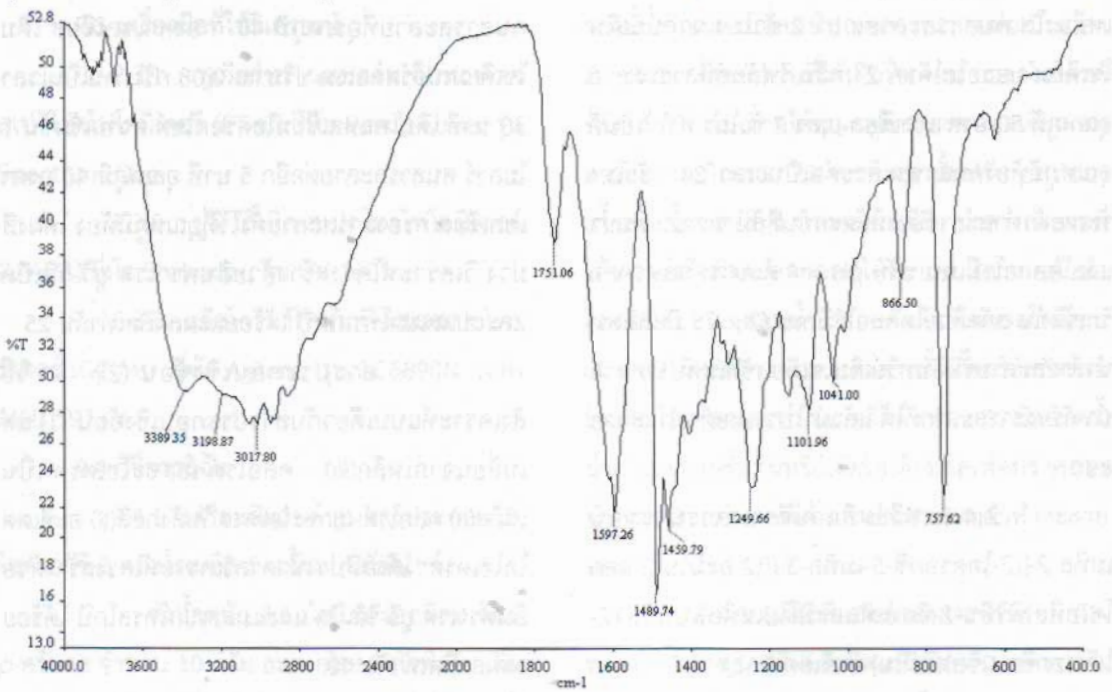
3. ผลการวิจัยและวิจารณ์

3.1 การวิเคราะห์ข้อมูลของลิแกนด์ H_2L และสารประกอบเชิงซ้อนโลหะคู่ $Fe^{III}-Fe^{II}$ และ $Fe^{III}-Zn^{II}$ ด้วยเทคนิคอินฟราเรดสเปกโทรสโกปี

ข้อมูลสเปกตรัมอินฟราเรด ดังรูปที่ 1 พิจารณาการดูดกลืนของหมู่ฟังก์ชันในลิแกนด์ H_2L ปรากฏพีคที่เด่นชัด ดังนี้ ที่เลขคลื่น 3389 และ 3198 cm^{-1} มีแถบการดูดกลืนของหมู่เอมิโน (NH_2) ชนิดเอมีนปฐมภูมิ ซึ่งให้เห็นว่าหมู่เอมิโนในโครงสร้างของลิแกนด์นี้เป็นของหมู่อะเซตาไมด์ ที่เลขคลื่น 1751 cm^{-1} มีแถบการดูดกลืนของหมู่คาร์บอนิล ($C=O$) ซึ่งให้เห็นว่าในโครงสร้างของ ลิแกนด์นี้เป็นของ *N*-(2-ไฮดรอกซีเบนซิล)ไกลซีน เอทิล เอสเทอร์ และที่เลขคลื่น 1597 cm^{-1} มีแถบการดูดกลืนของวงอะโรมาติก สำหรับข้อมูลสเปกตรัมพีคการดูดกลืนของสารประกอบเชิงซ้อนโลหะคู่ $Fe^{III}-Fe^{II}$ (1) และ $Fe^{III}-Zn^{II}$ (2) พบแถบการ

ดูดกลืนที่ปรากฏตำแหน่งการดูดกลืนใกล้เคียงกับ

ลิแกนด์ H_2L แต่มีการย้าย (shift) เลขคลื่นให้ต่ำลง



รูปที่ 1 สเปกตรัมอินฟราเรดของลิแกนด์ H_2L

เนื่องจากอะตอมออกซิเจนและไนโตรเจนที่อยู่ในลิแกนด์ H_2L เกิดการโคออร์ดิเนตกับโลหะทรานซิชัน

3.2 การวิเคราะห์ข้อมูลของสารประกอบเชิงซ้อนโลหะคู่ $Fe^{III}-Fe^{II}$ และ $Fe^{III}-Zn^{II}$ ด้วยเทคนิคอัลตราไวโอเลต-วิสิเบิล สเปกโทรสโกปี

ข้อมูลสเปกตรัมยูวี-วิสิเบิลของสารประกอบเชิงซ้อนโลหะคู่ $Fe^{III}-Fe^{II}$ (1) และ $Fe^{III}-Zn^{II}$ (2) ใช้ตัวทำละลายเมทานอล ในช่วงความยาวคลื่น 400-800 นาโนเมตร ดังรูปที่ 2 พบว่าสารประกอบเชิงซ้อนของโลหะคู่ $Fe^{III}-Fe^{II}$ (1) ไม่มีแถบการดูดกลืนของ $d-d$ band เพราะโลหะ Fe^{III} เป็นสารประกอบ d^5 จะเป็นทรานซิชันต้องห้าม ทำให้ความเข้มของแถบการดูดกลืนต่ำมาก ๆ โดยแถบการดูดกลืนที่ปรากฏค่าการดูดกลืนแสงสูงสุดเกิดขึ้นที่ 456 นาโนเมตร เนื่องจากแนวโน้มของไอออนชนิดไตรวาเลนต์ (Fe^{III}) เกิดการ ทรานซิชันแบบชาร์จ ทรานสเฟอร์ระหว่างโลหะทรานซิชันไปยังลิ

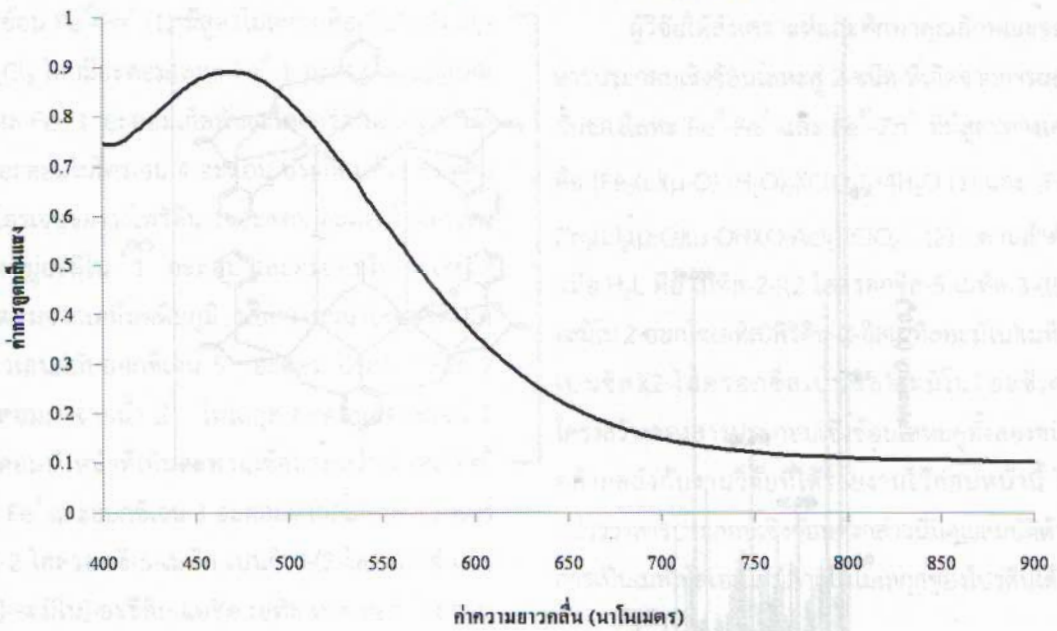
แกนด์ (หมู่ไฮดรอกซิล และอะตอมออกซิเจนที่เป็นสะพานเชื่อมโลหะคู่) สอดคล้องกับงานวิจัยของ Pilipenko [5] สำหรับสารประกอบเชิงซ้อนโลหะคู่ $Fe^{III}-Zn^{II}$ (2) ปรากฏแถบการดูดกลืนสูงสุดที่ความยาวคลื่น 471 นาโนเมตร ไม่มีแถบการดูดกลืนของ $d-d$ band เช่นเดียวกับสารประกอบเชิงซ้อนโลหะคู่ $Fe^{III}-Fe^{II}$ (1) เนื่องจากโลหะ Zn^{II} เป็นสารประกอบ d^{10} ไม่มี $d-d$ ทรานซิชัน สอดคล้องกับงานวิจัยของ Asadi [6]

3.3 การวิเคราะห์ข้อมูลของสารประกอบเชิงซ้อนโลหะคู่ $Fe^{III}-Fe^{II}$ และ $Fe^{III}-Zn^{II}$ ด้วยเทคนิคแมสสเปกโทรสโกปี

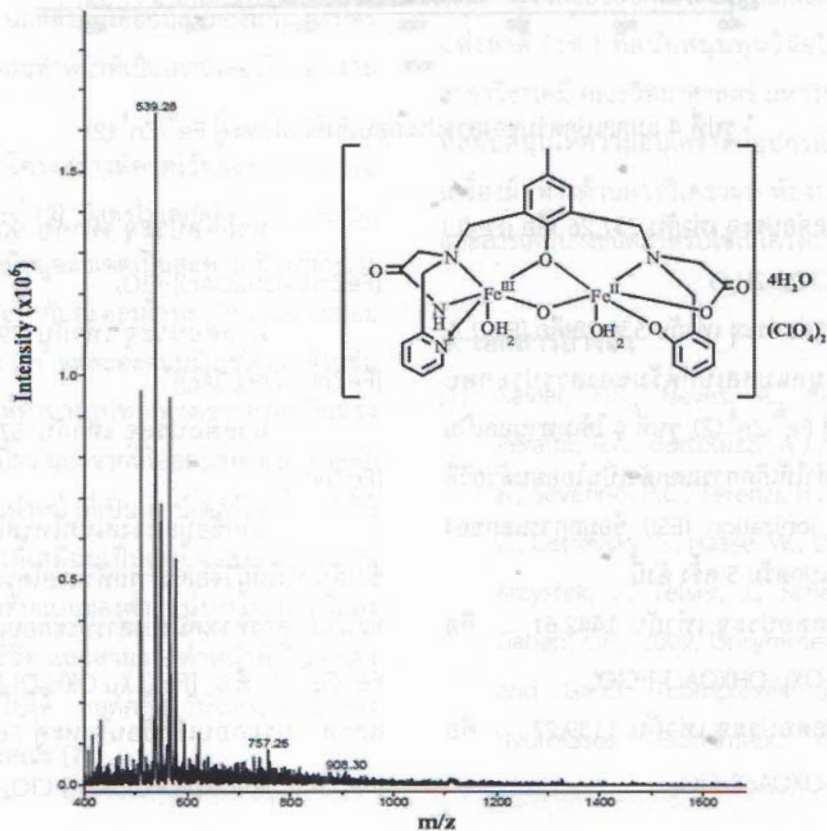
ข้อมูลแมสสเปกตรัมของสารประกอบเชิงซ้อนโลหะคู่ $Fe^{III}-Fe^{II}$ (1) รูปที่ 3 ใช้เมทานอลเป็นตัวทำละลาย ทำให้เกิดการแตกตัวเป็นไอออนด้วยวิธี electrospray ionization (ESI) ข้อมูลการแตกของโครงสร้างพบสเปกตรัม 3 ครั้ง ดังนี้



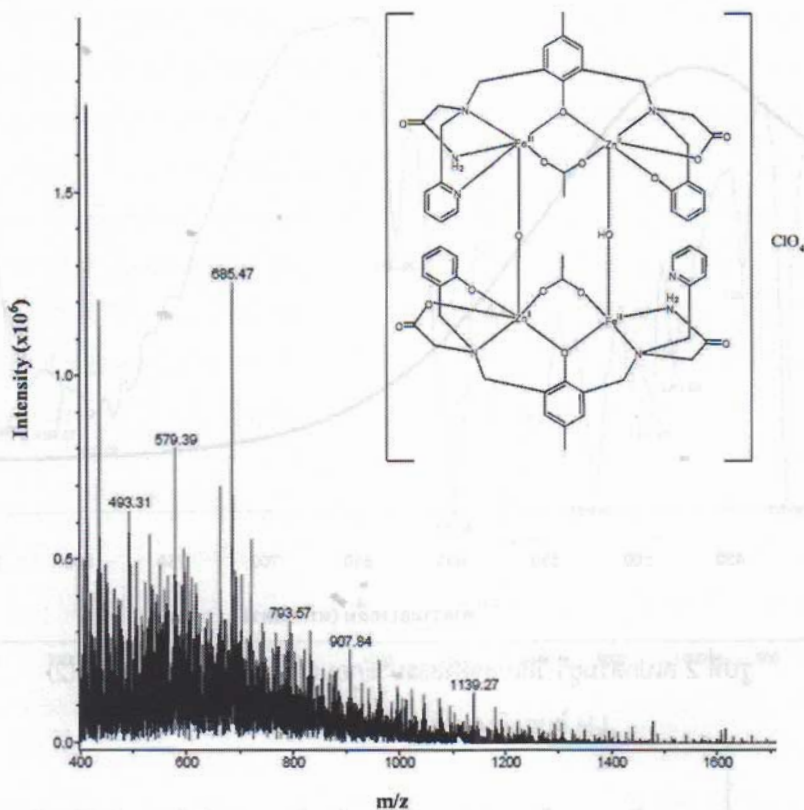
มวลต่อประจุ เท่ากับ 908.30 คือ $[\text{Fe}_2(\text{L}) (\mu\text{-O}(\text{H}_2\text{O})_2)(\text{ClO}_4)_2 \cdot 4\text{H}_2\text{O}]$



รูปที่ 2 สเปกตรัมยูวี-วิสิเบิลของสารประกอบเชิงซ้อนโลหะคู่ $\text{Fe}^{\text{III}}\text{-Zn}^{\text{II}}$ (2)



รูปที่ 3 แมสสเปกตรัมของสารประกอบเชิงซ้อนโลหะคู่ Fe^{III}-Fe^{II} (1)



รูปที่ 4 แมสสเปกตรัมของสารประกอบเชิงซ้อนโลหะคู่ Fe^{III}-Zn^{II} (2)

มวลต่อประจุ เท่ากับ 757.26 คือ [Fe₂(L)(μ-O)(H₂O)₂](ClO₄)₂·2H₂O

มวลต่อประจุ เท่ากับ 539.28 คือ [Fe₂(L)...

ข้อมูลแมสสเปกตรัมของสารประกอบเชิงซ้อนโลหะคู่ Fe^{III}-Zn^{II} (2) รูปที่ 4 ใช้เมทานอลเป็นตัวทำละลาย ทำให้เกิดการแตกตัวเป็นไอออนด้วยวิธี electrospray ionization (ESI) ข้อมูลการแตกของโครงสร้างพบสเปกตรัม 5 ครั้ง ดังนี้

มวลต่อประจุ เท่ากับ 1442.61 คือ [Fe₂Zn₂(L)₂(μ-O)(μ-OH)(OAc)₂]⁺·ClO₄⁻

มวลต่อประจุ เท่ากับ 1139.27 คือ [Fe₂Zn₂(L)₂(μ-O)(OAc)]⁺·ClO₄⁻

มวลต่อประจุ เท่ากับ 907.84 คือ [FeZn(L)(OH)(OAc)]⁺·ClO₄⁻

มวลต่อประจุ เท่ากับ 793.57 คือ [FeZn(L)(OH)(OAc)]⁺

มวลต่อประจุ เท่ากับ 579.39 คือ [FeZn(L)₂]

จากข้อมูลทางสเปกโทรสโกปีที่ได้กล่าวมาข้างต้น ทำให้ผู้วิจัยสามารถทำนายโครงสร้างที่คาดว่า จะได้และสูตรทางเคมีของสารประกอบเชิงซ้อนโลหะคู่ Fe^{III}-Fe^{II} (1) คือ [Fe₂(L)(μ-O)(H₂O)₂](ClO₄)₂·4H₂O และสารประกอบเชิงซ้อนโลหะคู่ Fe^{III}-Zn^{II} (2) คือ [Fe₂Zn₂(L)₂(μ-O)(μ-OH)(OAc)₂]⁺·ClO₄⁻

จากโครงสร้างที่คาดไว้ของสารประกอบเชิงซ้อน $\text{Fe}^{\text{III}}\text{-Fe}^{\text{II}}$ (1) มีสูตรโมเลกุล คือ $\text{C}_{26}\text{H}_{38}\text{N}_4\text{O}_{20}\text{Fe}_2\text{Cl}_2$ โดยมีอะตอมโลหะ Fe^{III} 1 อะตอมและอะตอมโลหะ Fe^{II} 1 อะตอมเกิดพันธะโคออร์ดิเนตโคเวเลนต์กับอะตอมไนโตรเจน 4 อะตอม ประกอบด้วย อะตอมไนโตรเจนของวงไพริดีน 1 อะตอม อะตอมไนโตรเจนของหมู่อะมิโน 1 อะตอม และอะตอมไนโตรเจน 2 อะตอมจากเอมีนตติยภูมิ นอกจากนี้ยังโคออร์ดิเนตโคเวเลนต์กับออกซิเจน 5 อะตอม ประกอบด้วย 2 อะตอมมาจากน้ำ 2 โมเลกุล อะตอมออกซิเจน 1 อะตอมทำหน้าที่เป็นสะพานเชื่อมระหว่างโลหะ Fe^{III} กับ Fe^{II} และออกซิเจน 3 อะตอมจากลิแกนด์ [(3-ฟอร์มิล-2-ไฮดรอกซี-5-เมทิล-เบนซิล)-(2-ไฮดรอกซี-เบนซิล)-อะมิโน]-อะซีติก แอซิด เอทิล เอสเทอร์ โดยรอบอะตอมโลหะ Fe^{III} และ Fe^{II} มีเลขโคออร์ดิเนชันเท่ากับ 6 ทำให้ทำนายรูปร่างทางเรขาคณิตเป็นทรงแปดหน้าทึบเบี้ยว นอกจากนี้ไอออนลบของโมเลกุลเปอร์คลอเรต 2 ไอออนทำหน้าที่เป็นแคน์เตอร์ไอออนและน้ำ 4 โมเลกุล

จากโครงสร้างที่คาดไว้ของสารประกอบเชิงซ้อน $\text{Fe}^{\text{III}}\text{-Zn}^{\text{II}}$ (2) มีสูตรโมเลกุลคือ $\text{C}_{56}\text{H}_{61}\text{N}_8\text{O}_{20}\text{Fe}_2\text{Zn}_2\text{Cl}$ โดยมีหมู่อะซีเตตเป็นสะพานเชื่อมระหว่างอะตอมโลหะ Fe^{III} กับอะตอมโลหะ Zn^{II} และอะตอมโลหะ Fe^{III} และ Zn^{II} แต่ละอะตอมมีเลขโคออร์ดิเนชันเท่ากับ 6 ทำให้ทำนายรูปร่างทางเรขาคณิตเป็นทรงแปดหน้าทึบเบี้ยว นอกจากนี้ไอออนลบของเปอร์คลอเรต 1 ไอออนทำหน้าที่เป็นแคน์เตอร์ไอออน ทำให้โมเลกุลทั้งสองนี้เสมือนเป็นแบบจำลองเลียนแบบธรรมชาติที่เป็นต้นแบบของตำแหน่งการออกฤทธิ์ของโปรตีนในสิ่งมีชีวิต และสามารถทำหน้าที่เป็นตัวเร่งปฏิกิริยาทั่ว ๆ ไปได้ สอดคล้องกับจากงานวิจัยของ Kantacha และคณะ [7]

4. สรุป

ผู้วิจัยได้สังเคราะห์และศึกษาคุณลักษณะของสารประกอบเชิงซ้อนโลหะคู่ 2 ชนิด ที่เกิดจากการผสมกันของโลหะ $\text{Fe}^{\text{III}}\text{-Fe}^{\text{II}}$ และ $\text{Fe}^{\text{III}}\text{-Zn}^{\text{II}}$ ที่มีสูตรทางเคมีคือ $[\text{Fe}_2(\text{L}(\mu\text{-O})(\text{H}_2\text{O})_2)(\text{ClO}_4)_2 \cdot 4\text{H}_2\text{O}$ (1) และ $[\text{Fe}_2\text{Zn}_2(\text{L})_2(\mu\text{-O})(\mu\text{-OH})(\text{O-Ac})_2] \cdot \text{ClO}_4$ (2) ตามลำดับ (เมื่อ H_2L คือ เมทิล-2-[(2-ไฮดรอกซิล-5-เมทิล-3-((2-อะมิโน-2-ออกโซเอทิล)ไพริดีน-2-อิลเมทิลอะมิโน)เมทิล)เบนซิล)(2-ไฮดรอกซิลเบนซิล)อะมิโน]-อะซีเตต โครงสร้างของสารประกอบเชิงซ้อนโลหะคู่ทั้งสองชนิดคล้ายคลึงกับงานวิจัยที่ได้รายงานไว้ก่อนหน้านี้ ได้กล่าวว่าสารประกอบเชิงซ้อนดังกล่าวนี้มีคุณสมบัติด้านการเป็นเมทัลโลเอนไซม์ภายในโมเลกุลของโปรตีนได้

5. กิตติกรรมประกาศ

ผู้วิจัยขอขอบคุณ สำนักงานคณะกรรมการวิจัยแห่งชาติ (วช.) ที่สนับสนุนทุนวิจัยในครั้งนี้ และสาขาวิชาเคมี คณะวิทยาศาสตร์ มหาวิทยาลัยทักษิณ ที่สนับสนุนให้ความอนุเคราะห์อุปกรณ์วิทยาศาสตร์ เครื่องมือทางด้านการศึกษาวิเคราะห์ ห้องปฏิบัติการเคมี และสารเคมีบางชนิดสำหรับใช้ในโครงการวิจัยครั้งนี้

6. เอกสารอ้างอิง

- [1] Xavier, F.R., Neves, A., Casellato, A., Peralta, R.A., Bortoluzzi, A.J., Szpoganicz, B., Severino, P.C., Terenzi, H., Tomkowicz, Z., Ostrovsky, S., Haase, W., Ozarowski, A., Krzystek, J., Telser, J., Schenk, G. and Gahan, L.R., 2009, Unsymmetrical $\text{Fe}^{\text{III}}\text{Co}^{\text{II}}$ and $\text{Ga}^{\text{III}}\text{Co}^{\text{II}}$ complexes as chemical hydrolases: Biomimetic models for

- purple acid phosphatases (PAPs), *Inorg. Chem.* 48: 7905-7921.
- [2] Twitchett, M.B. and Sykes, A.G., 1999, Structure, properties and reactivity of the $\text{Fe}^{\text{II}}\text{Fe}^{\text{III}}$ and $\text{Zn}^{\text{II}}\text{Fe}^{\text{III}}$ purple acid phosphatases, *Eur. J. Inorg. Chem.* 12: 2105-2115.
- [3] Guddat, L.W., McAlpine, A.S., Hume, D., Hamilton, S., Jersey, J.D. and Martin, J.L., 1999, Crystal structure of mammalian purple acid phosphatase, *Structure* 7: 757-767.
- [4] Neves, A. and Brito, M.A., 1996, $\text{Fe}^{\text{II}}\text{Fe}^{\text{III}}$ and $\text{Fe}^{\text{II}}\text{Fe}^{\text{III}}$ complexes as synthetic analogues for the oxidized and reduced forms of purple acid phosphatases, *Inorg. Chem.* 35: 2360-2368.
- [5] Xavier, F.R., Neves, A., Casellato, A., Peralta, R.A., Bortoluzzi, A.J., Szpoganicz, B., Severino, P.C., Terenzi, H., Tomkowicz, Z., Ostrovsky, S., Haase, W., Ozarowski, A., Krzystek, J., Telser, J., Schenk, G. and Gahan, L.R., 2009, Unsymmetrical $\text{Fe}^{\text{II}}\text{Co}^{\text{II}}$ and $\text{Ga}^{\text{III}}\text{Co}^{\text{II}}$ complexes as chemical hydrolases: Bioimetic models for purple acid phosphatases (PAPs), *Inorg. Chem. Article* 48: 7905-7921.
- [6] Pilipenko, A.T., Savranskii, L.I. and D'yachenko, N.A., 1973, Charge transfer bands in the electronic spectra of Fe(III) complexes with several oxygen-containing ligands, *J. Appl. Spectrosc.* 19: 882-886.
- [7] Asadi, M., Absalana, G. and Zamanpour, A., 2011, Cobalt(II), nickel(II), copper(II) and zinc(II) complexes with new tetraaza schiff base ligands: Synthesis, characterization and thermodynamic studies, *J. Iran. Chem. Soc.* 8: 1073-1081.
- [8] Kantacha, A., Buchholz, R., Smith, S.J., Schenk, G. and Gahan, L.R., 2011, Phosphate ester cleaving promoted by a tetrameric iron(III) complex, *J. Biol. Inorg. Chem.* 16: 25-32.